

## Разработка рекомендательной системы для подбора тренировок

*А.В. Зубков, С.В. Степанов, В.В. Носкин, Н.Д. Сибирный, Ю.А. Орлова*

*Волгоградский Государственный Технический Университет*

**Аннотация:** В статье рассматриваются разработанные авторами методы и подходы для рекомендательной системы, которые направлены на повышение качества реабилитации пациента во время выполнения дыхательных тренировок. С целью описания тренировок, был разработан собственный язык для конкретной предметной области, а также его грамматика и синтаксический анализатор. Благодаря данному языку можно построить дерево, описывающее конкретную тренировку пациента. К полученному дереву применяются два основных метода, рассматриваемых в статье: «Метод для анализа проблемных участков в ходе прохождения тренировок пациентами» и «Метод нечеткого поиска схожих участков в тренировке». С помощью данных методов в работе предлагается анализировать проблемные участки тренировок пациентов во время реабилитации и искать похожие затруднительные участки пациента для подбора похожих упражнений с целью поддержания уровня разнообразности заданий и вовлечения пациента в процесс.

**Ключевые слова:** рекомендательная система, система управления обучением, реабилитация, медицина, дыхательная тренировка, маркерная система, предметно-ориентированный язык, расстояние Левенштейна.

### Введение

В реабилитации многие используют цифровые комплексы, которые позволяют повысить интерес пациента к тренировке, и тем самым непосредственно улучшить качество реабилитации [1-3]. В процессе реабилитации пациент погружается в виртуальную среду, перед ним ставится игровая цель, которой необходимо достичь и тем самым пациент, проходя игру за игрой, выполняет набор упражнений, относящихся к реабилитации [4]. В современных процессах реабилитации наблюдается одна проблема – когда у пациента не получается выполнить одно упражнение (пройти стадию игры), он теряет мотивацию и интерес к игровому реабилитационному процессу. Данную проблему также можно наблюдать и в системах управления обучением (Learning Management System - LMS) во время тестирования студентов [5]. Для ее решения используют рекомендательные системы, которые подбирают пользователю наиболее подходящие тренировки, позволяющие отработать набор выявленных проблем. Другими словами, система проводит поиск схожих элементов в базе тренировок и

выбирает тренировку, которая имеет схожие элементы, вызвавшие у пользователя наибольшие проблемы. Целью рекомендательной системы является повышение разнообразия упражнений, направленных на проработку проблемных элементов пройденных тренировок.

Из поставленной цели вытекают следующие задачи:

- разработать метод для анализа проблемных участков в ходе прохождения пациентами тренировки;
- разработать метод нечеткого поиска схожих участков в тренировке.

В рамках данной статьи разработана рекомендательная система тренировок на базе игрового тренажера для дыхательных тренировок.

### **Система дыхательной тренировки**

Дыхательная реабилитация является важной составляющей комплексного лечения пациентов с различными заболеваниями легких, так как позволяет раскрыть плохо вентилируемые участки легких и улучшить их функциональность [6]. Кроме того, основной задачей дыхательной реабилитации является восстановление оптимального паттерна дыхания, что позволит увеличить дыхательный потенциал функций легких и улучшить качество жизни пациентов.

На данный момент врачи выделяют три основных типа дыхания:

- Грудное дыхание - это тип дыхания, при котором вдох происходит за счет расширения грудной клетки и подъема ребер вверх. В этом типе дыхания активно задействованы мышцы грудной клетки, а брюшная область почти не участвует в процессе вдоха.

- Брюшное дыхание - это тип дыхания, при котором вдох происходит за счет расширения брюшной полости и опускания диафрагмы вниз. В этом типе дыхания задействованы мышцы брюшной стенки и диафрагмы, а грудная клетка практически не участвует в процессе вдоха.

- Смешанное дыхание - это комбинация грудного и брюшного дыхания, при котором в процессе вдоха задействованы как мышцы грудной клетки, так и мышцы брюшной стенки, диафрагмы. В этом типе дыхания вдох происходит за счет расширения как грудной, так и брюшной полостей, что позволяет легким лучше вентилировать.

Основной целью тренажера дыхательных тренировок является развитие смешанного типа дыхания у пациента. При реализации тренажера были решены следующие задачи:

- Разработан метод для автоматизированного определения типа дыхания человека;
- Разработан метод для обеспечения биологической обратной связи между пациентом и тренажером;
- Разработан игровой пользовательский сценарий для тренажера;
- Разработана модель промежуточного представления для описания тренировок;
- Разработана рекомендательная система подбора тренировок;
- Разработаны программно-алгоритмические средства для проведения дыхательных тренировок.

Механика тренажера представляет собой аркадный платформер с видом сбоку, где пользователь управляет сферой, которой необходимо собрать как можно больше звезд, не выходя за жирные линии. Пользователю предлагается в тренажере пройти разные участки пути, просто вдыхая и выдыхая воздух легкими (Рис. 1). Биологическая обратная связь обеспечивается системой захвата движения на базе трех маркеров. Маркеры крепятся на мечевидном отростке грудины, между 9 и 11 грудными позвонками и над пупком пациента. Данное размещение позволяет отследить динамику расширения и сужения при грудном, брюшном и смешанном типах дыхания, представив это, как расстояние между двумя маркерами. При вдохе

шарик, которым управляет пользователь, поднимается, а при выдохе, соответственно, опускается.

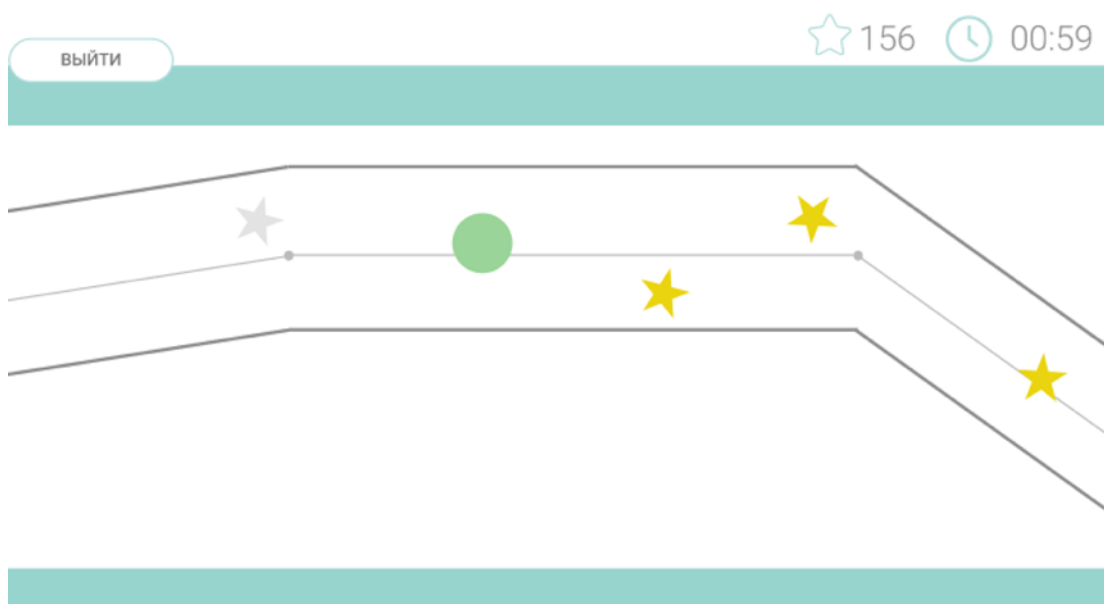


Рис. 1. – Пример работы программы.

Для построения уровня необходимы следующие характеристики:

- id – тренировки (сущность, которая хранит в себе геометрию уровня);
- доминирующий тип дыхания человека в повседневной жизни (характеристика, показывающая какие мышцы и какой паттерн будут использоваться, в рамках тренировки);
- максимальные расстояния между датчиками, для паттерна дыхания, который подвергается тренировке;
- минимальное расстояние между датчиками, для паттерна дыхания, который подвергается тренировке.

После того, как пациент попадает в тренажер в первый раз, ему предлагается список упражнений с их кратким описанием. После выбора упражнения, тренажер замеряет доминирующий тип дыхания, который зависит от того, каким расстоянием будет управляться шарик (Рис. 2). Если у пользователя доминирует брюшной тип дыхания, тогда расстояние в тренировке будет учитываться между грудным и спинным датчиком. Если грудное дыхание доминирует, то расстояние учитывается между брюшным и

грудным датчиком. А если смешанное, то будет браться среднее расстояние, с использованием всех трёх маркеров (где коэффициент К направлен на уравнивание двух расстояний). Далее пациент проходит калибровку, где ему необходимо максимально вдохнуть указанным способом и максимально возможно выдохнуть. После вычисления всех основных характеристик, необходимых для построения уровня, запускается основная часть тренажера.

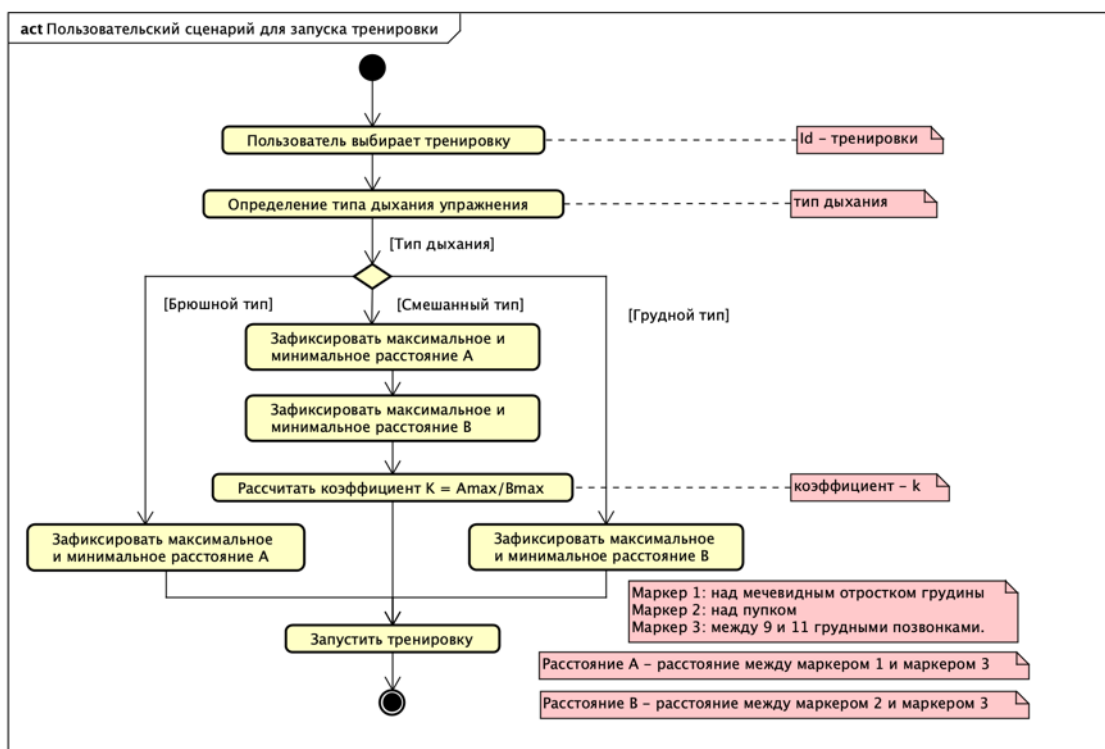


Рис.2. Сценарий запуска программы.

### Язык для описания игровых тренировок

Так как современный мир не стоит на месте, на данный момент не только изучаются разнообразные аспекты, влияющие на качество реабилитации, но и происходит постоянное улучшение методик проведения самих упражнений. Поэтому, в качестве точки расширения, было принято решение по расширению набора упражнений с помощью промежуточного представления. Промежуточное представление тренировки представляет из себя описательный язык игровых задач, которые ставятся перед игроком в определенный момент времени тренировки.

Каждый оператор в языке представляет собой часть лабиринта

Грамматика языка представлена ниже:

```
program : commands EOF ;
commands: command* ;
commandParams: command (',' command)*;
command: ('hold' OP (NUMBER) CP) |
        ('inhale' OP (NUMBER ',' NUMBER) CP) |
        ('exhale' OP (NUMBER ',' NUMBER) CP) |
        ('inhaleForce' OP (NUMBER ',' NUMBER) CP) |
        ('inhaleFading' OP (NUMBER ',' NUMBER) CP) |
        ('exhaleForce' OP (NUMBER ',' NUMBER) CP) |
        ('exhaleFading' OP (NUMBER ',' NUMBER) CP) |
        ('repeat' OP NUMBER ',' commandParams CP) |
        'end';

IDENTIFIER : (LETTER (LETTER | DIGIT)*);
OP : '(';
CP : ')';
NUMBER : (DIGIT)+ ;
WHITESPACE : [ \r\n\t ] + -> channel (HIDDEN);
DIGIT : '0'..'9';
LETTER : LOWER | UPPER ;
LOWER : ('a'..'z') ;
UPPER : ('A'..'Z') ;
```

На основе описанной грамматики генерирует LL-парсер с помощью генератора нисходящих анализаторов для формальных языков ANTLR (ANother Tool for Language Recognition) [7], где «LL» означает, что строки анализируются слева направо (left to right) и используется левосторонний вывод (leftmost derivation). Используя сгенерированный парсер, можно получить дерево, описывающее порядок действия тренировки для дальнейшего анализа и преобразований. На Рис. 3 изображен пример

разобранного дерева с помощью ANTLR- парсера на основе представленной грамматики для примера с вложенными циклами: repeat(2, exhale(1, 30), repeat(2, inhale(1, 20), hold(1), exhale(3, 20))).

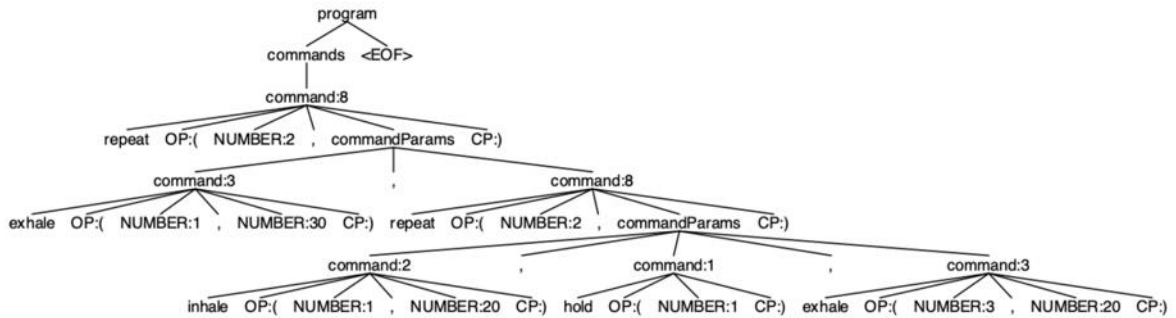


Рис. 3. Дерево, описывающее тренировку, после парсинга на основе ANTLR-парсера.

Таблица № 1.

Описание операторов языка

Оператор	Описание
inhale (duration, volume)	команда для выполнения линейного вдоха, где duration - продолжительность, volume - конечный объем
exhale(duration,volume)	команда для выполнения линейного выдоха, где duration - продолжительность, volume - конечный объем
inhaleFading (duration, volume)	команда для выполнения горизонтально-параболического вдоха, где duration - продолжительность, volume - конечный объем
exhaleFading (duration, volume)	команда для выполнения горизонтально-параболического выдоха, где duration - продолжительность, volume - конечный объем
inhaleForce (duration, volume)	команда для выполнения параболического вдоха, где duration - продолжительность, volume - конечный объем
exhaleForce (duration, volume)	команда для выполнения параболического выдоха, где duration - продолжительность, volume - конечный объем

hold (duration)	команда для удержания дыхания на указанную продолжительность, с начальным объемом $V_s$ . Формула: $V(t) = V_s$
repeat (times, commands)	команда для повторения указанных команд (commands) заданное количество (times) раз
pause(duration)	команда для паузы на указанную duration - продолжительность
end	команда для окончания программы (сценария)

Значения операторов представлены в таблице 1. Операторы типа *inhale* и *exhale* в своей реализации являются взаимозаменяемыми, данное решение позволяет пользователю языка визуально отделять вдохи и выдохи и контролировать текущий объем пользователя.

Для расчета текущей вертикальной координаты положения шарика, было введено понятие объема -  $V_p$ . Оно высчитывается, с использованием максимальных и минимальных нормализованных значений расстояний, рассчитываемых ранее и увеличенных в 100 раз.

Операторы *inhale* и *exhale* представляют собой прямые участки пути (Формула 1), которые проводятся через следующие две точки  $A(t_s, V_s)$  и  $B(t_s + duration, volume)$ .

$$V(t) = \frac{(volume - V_s) * (t - t_s - duration)}{duration} + volume, \quad (1)$$

где  $V(t)$  - вертикальная координата положения центральной точки уровня на момент  $t$ ,  $t$  - текущее время от начала выполнения упражнения,  $volume$  - целевой показатель объема,  $t_s$  - начальное время,  $V_s$  - вертикальная координата положения центральной точки уровня на момент  $t_s$ ,  $duration$  - продолжительность.

Операторы суффиксом “Fading” представляют участок пути, напоминающих степенную квадратичную функцию. Для построения данного участка, используется следующая формула (2):

$$V(t) = \frac{(volume - V_s)}{duration^2} + (t - t_s)^2, \quad (2)$$



где  $V(t)$  - вертикальная координата положения центральной точки уровня на момент  $t$ ,  $t$  - текущее время от 0,  $volume$  - целевой показатель объема,  $t_s$  - начальное время,  $V_s$  - вертикальная координата положения центральной точки уровня на момент  $t_s$ ,  $duration$  - продолжительность.

Операторы суффиксом “Force” представляют участок пути, напоминающих степенную функцию со степенью 0.5 (т.е. квадратный корень). Для построения данного участка, используется следующая формула (3):

$$V(t) = \frac{volume - V_s}{duration^2} * \sqrt{t - t_s}, \quad (3)$$

где  $V(t)$  - вертикальная координата положения центральной точки уровня на момент  $t$ ,  $t$  - текущее время от начала упражнения,  $volume$  - целевой показатель объема,  $t_s$  - начальное время,  $V_s$  - вертикальная координата положения центральной точки уровня на момент  $t_s$ ,  $duration$  - продолжительность.

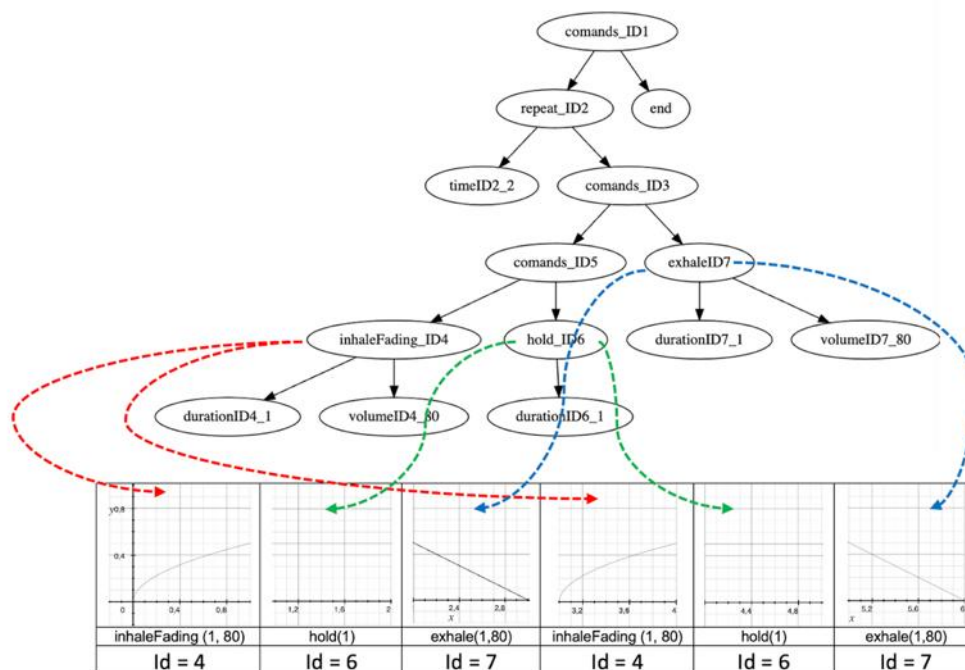


Рис. 4. Пример описания ломанной функции, описывающей уровень по коду “repeat(2, inhaleFading(1, 80), hold(1), exhale (1, 80)) end”.

На Рис. 4 продемонстрирована ломаная функция, которая описывает уровень, необходимый для прохождения пользователем.

Для построения верхней стенки уровня, строится функция  $V_{top}(t) = V(t) + n$ , а для нижней  $V_{bottom}(t) = V(t) - n$ . Значение  $n$  зависит от сложности уровня. Чем меньше  $n$ , тем уже участок, соответственно, тем уровень сложнее.

### Метод для анализа проблемных участков в ходе прохождения тренировки пациентов

Для того, чтобы система могла предложить пользователю наиболее подходящий уровень, который позволил бы отработать основные элементы, которые вызывают у пользователя наибольшие проблемы, необходимо разработать метод, позволяющий выделить эти участки (Рис. 5).

На формуле (4) показана метрика, используемая для расчета показателя суммы расстояний отклонения пользователя на данный момент времени.

$$Error = \sum_{t=-m}^m \begin{cases} |V_p(t) - V(t) + n|, & \text{если } V_p(t) > V(t) + n \\ 0, & \text{если } V(t) + n \geq V_p(t) \leq V(t) \\ |V_p(t) - V(t) - n|, & \text{если } V_p(t) < V(t) - n \end{cases}, \quad (4)$$

Были выделены совместно со специалистами основные характеристики для данных участков:

- допустимое количество элементов в участке от 2 до 5;
- допустимое среднеквадратичное значение отклонения ошибки пользователем между участками должно составлять до 40%.

Для выявления проблемных участков, где пользователь совершил наибольшее количество ошибок, используется абстрактное синтаксическое дерево, в котором в узлах дополнительно хранится следующая информация: среднеквадратичное отклонение ошибки и среднее арифметическое значение ошибки для дочерних узлов дерева [8].

Изначально строится абстрактное синтаксическое дерево без узлов `repeat`, `pause` (Рис. 6). Для каждого узла дерева операторов, описывающих уровень, записывается значение ошибки. Если оператор описывает несколько участков уровня (те используется циклично), то для него высчитывается среднее арифметическое значение ошибки и среднее квадратичное отклонение для каждой попытки. Далее операция повторяется для узлов типа `commands`. Затем все узлы типа `commands` ранжируются по записанной в них функции ошибки и отбрасываются те узлы, которые не удовлетворяют условию, выделенному совместно со специалистами (количество элементов в участке от 2 до 5 и допустимое среднеквадратичное значение отклонения ошибки пользователем между участками должно составлять до 40%).

где  $V(t)$  - вертикальная координата положения центральной точки уровня на момент  $t$ ,  $V_p(t)$  - вертикальная координата положения пользовательского объекта на момент  $t$ .

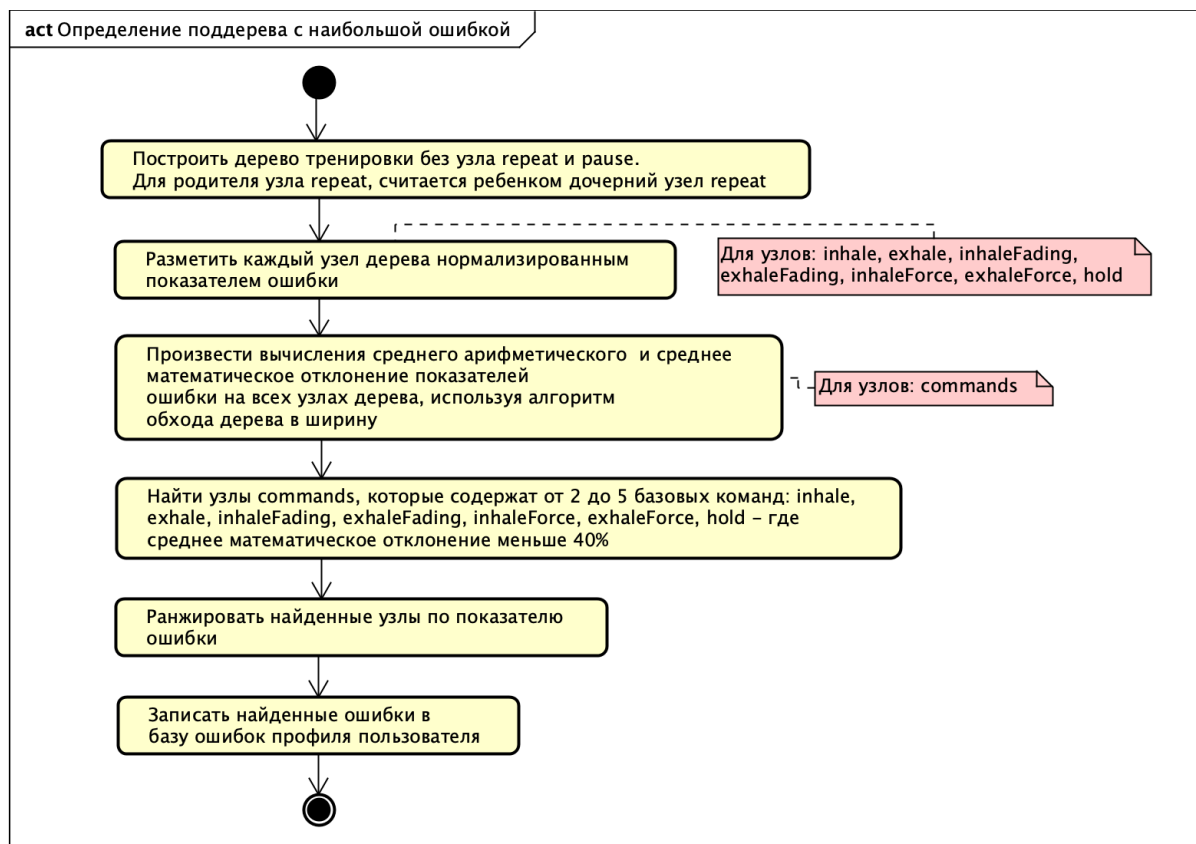


Рис. 5. Метод поиска и ранжирования по важности проблемных участков.

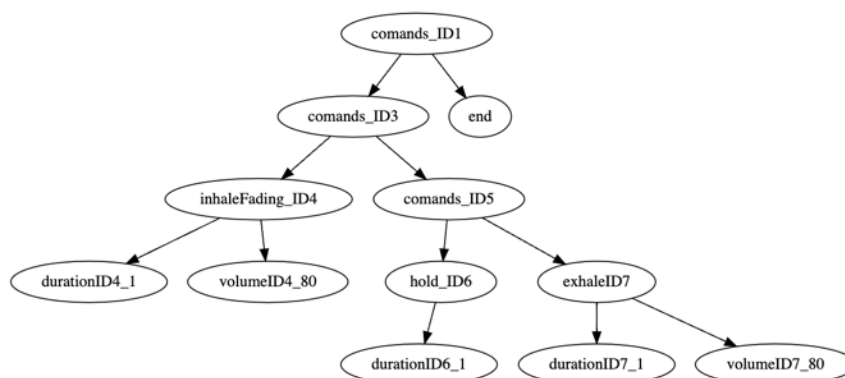


Рис. 6. Пример результирующего дерева, после удаления лишних узлов метода анализа проблемных участков в ходе прохождения тренировки пациентами.

Полученные первые три поддерева записываются в профиль пациента, как проблемные участки.

#### Метод нечеткого поиска схожих участков в тренировке.

Для реализации метода нечеткого поиска был выбран путь сведения задачи к нечеткому поиску подстроки в строке. В качестве метрики схожести [9] был выбран метод Дамерау — Левенштейна [10], а для представления деревьев в виде строки использовалась прямая польская нотация [11]. Чтобы уравновесить расстояния для алгоритма с использованием числовых показателей, был выбран путь представления их также в виде строк. Для *volume*, использовался нетерминальный символ V для каждого десятка. Для *times*, использовался нетерминальный символ T для каждой единицы и аналогично для *duration* использовался нетерминальный символ D. В качестве разделителя использовался пробел. А узел *commands* был преобразован к виду, когда он может принимать сразу более двух операторов и иметь одно значение - количество входящих узлов N, преобразованных аналогично с *times*. Пример строки кода:

```
repeat(2, inhaleFading(1, 80), hold(1), exhale(1, 80)) end
```

Пример в виде дерева представлен на Рис. 7. Пример в прямой польской нотации:

end exhale D VVVVVVVV hold D inhaleFading D VVVVVVVV  
commands NNN repeat TT commands NN

После преобразования синтаксического дерева к строке сравниваются все поддеревья с корнем commands используя метрику схожести алгоритма Дамерау — Левенштейна. Для каждого поддерева записывается id и расстояние. Далее происходит сортировка списка по убыванию и фильтрация по пороговому значению метрики схожести. Метод представлен на Рис. 8.

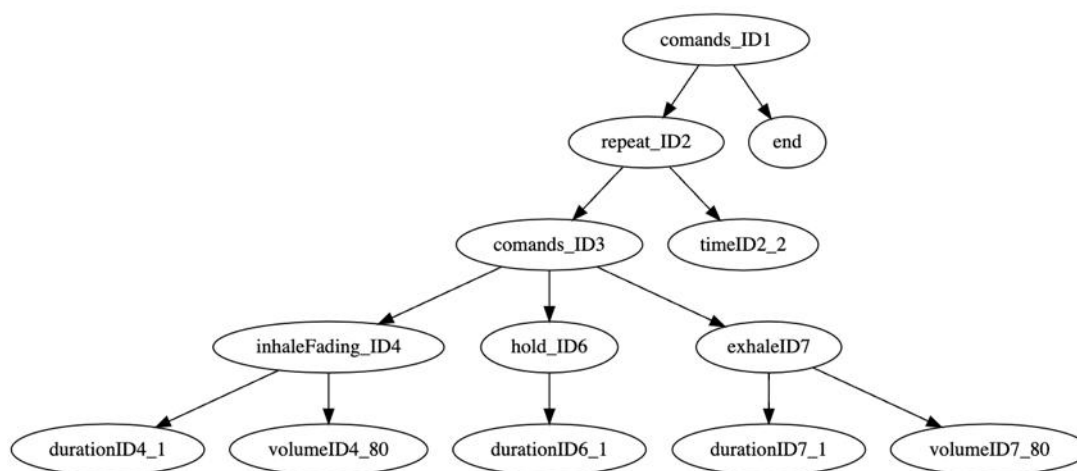


Рис. 7. Пример результирующего дерева, после модификации нетерминала commands.

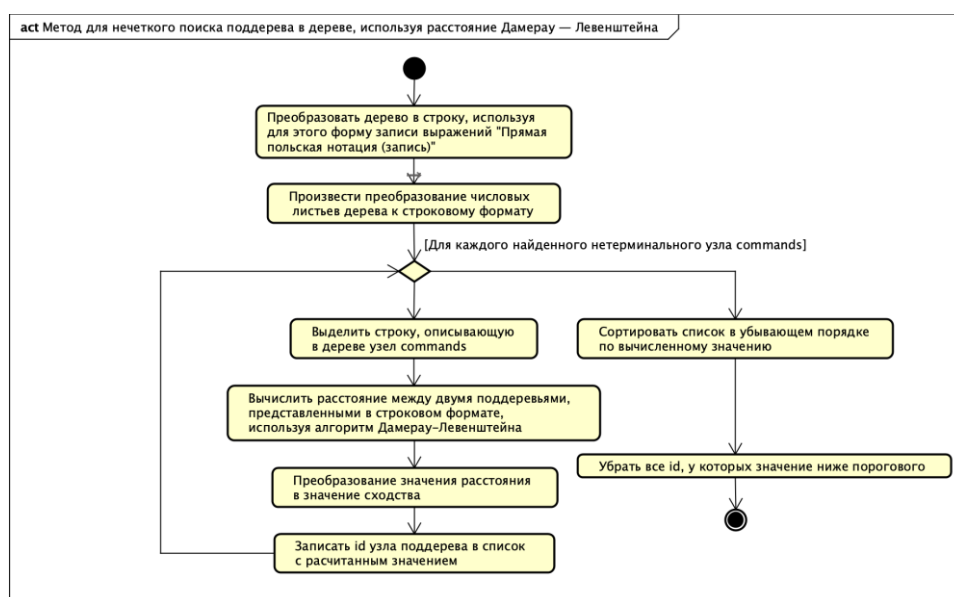


Рис. 8. Метод для нечеткого поиска поддерева в дереве, на базе метрики схожести расстояния Дамерау — Левенштейна.

Для поиска наиболее подходящего уровня вводятся коэффициент значимости проблемы в уровне (формула 5) и коэффициент значимости уровня (формула 6).

Метод представляет собой полный перебор (исключая повторы) каждого уровня (тренировки) из БД и каждого проблемного участка из профиля пользователя. Для каждой пары применяется метод для нечеткого поиска поддерева в дереве, на базе метрики схожести расстояния Дамерау — Левенштейна и рассчитывается для каждого проблемного участка в уровне коэффициент значимости проблемы и для каждого уровня - коэффициент значимости уровня. Метод представлен на Рис. 9.

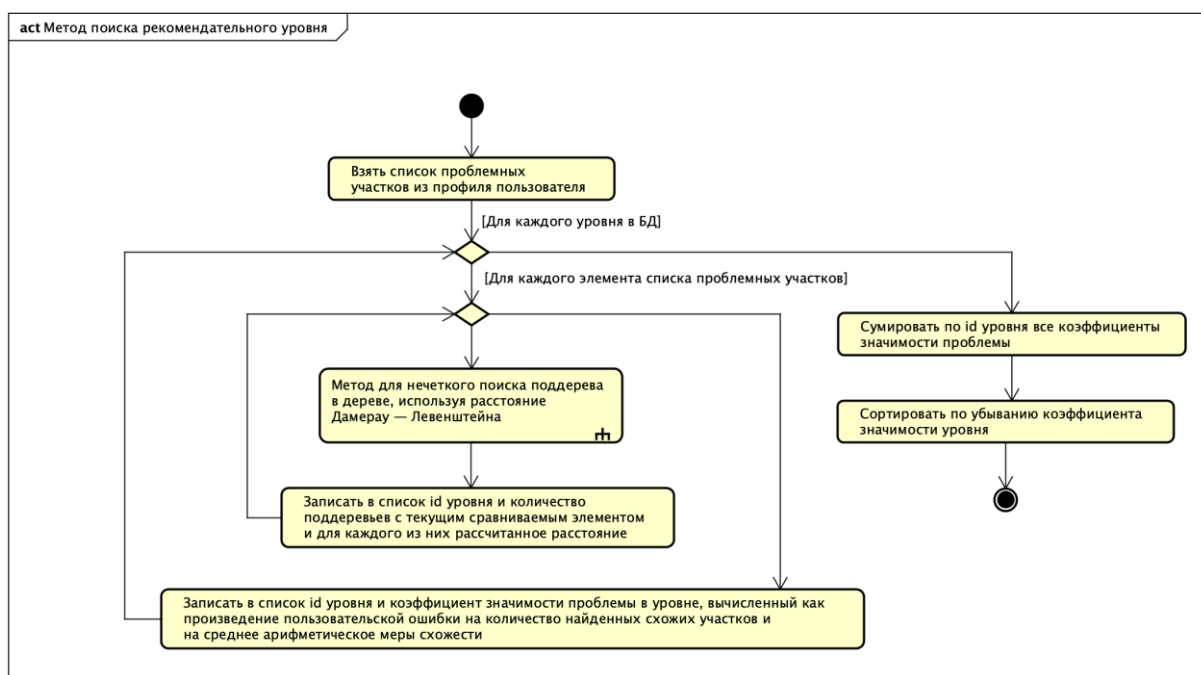


Рис. 9. Метод ранжирования уровня по значимости.

В результате чего, пользователь получает ранжированный список уровней, которые он может пройти, отработав участки, наиболее похожие на то, что у него не получалось ранее.

$$Kpi = \sum_{i=0}^n E_i * c_i * avg(me), \quad (5)$$

$$Ki = \sum_{i=0}^n Kpi, \quad (6)$$

где  $E_i$  – пользовательская ошибка для проблемы тренировки,  $c_i$  – количество найденных участков, которые удовлетворяют условию,  $me$  – мера близости.

### **Заключение.**

В результате исследования, была разработана рекомендательная система для тренажера дыхательной реабилитации, использующая следующие два реализованных метода:

- метод для анализа проблемных участков в ходе прохождения тренировки пациентов;
- метод нечеткого поиска схожих участков в тренировке.

На данной системе был проведен ряд ручных тестов, которые продемонстрировали работоспособность системы.

### **Литература**

1. Fekete M., Fazekas-Pongor V., Balazs P., Tarantini S., Nemeth AN., Varga JT. Role of new digital technologies and telemedicine in pulmonary rehabilitation: Smart devices in the treatment of chronic respiratory diseases // Wien Klin Wochenschr. 2021. №133. С. 1201-1207.

2. Леонова А.В., Синютин С.А., Шпаковская О.Ю. Разработка портативного пневмотренажера для тренировки дыхательной системы в борьбе с последствиями от перенесенного COVID-19 // Инженерный вестник Дона, 2022, №4. URL: [ivdon.ru/ru/magazine/archive/n4y2022/7575/](http://ivdon.ru/ru/magazine/archive/n4y2022/7575/).

3. Стбеаков И.Н., Шутин Д.В., Марахин Н.А. Машинное обучение в реабилитационной медицине и пример классификатора движений пальцев для кистевого тренажера // Инженерный вестник Дона, 2020, №6. URL: [ivdon.ru/ru/magazine/archive/N6y2020/6514/](http://ivdon.ru/ru/magazine/archive/N6y2020/6514/).

4. Зубков А.В., Сибирный Н.Д., Самоходкина И.А., Орлова Ю.А. Разработка цифровой модели реабилитации пациентов после инсульта для

восстановления бытовых навыков // Программная инженерия: современные тенденции развития и применения (ПИ-2021). 2021. С. 119-121.

5. Murad D. F., Heryadi Y., Wijanarko B. D., Isa S. M., Budiharto W. Recommendation System for Smart LMS Using Machine Learning: A Literature Review // International Conference on Computing, Engineering, and Design (ICCED). 2018. С. 113-118.

6. Yang F., Liu N., Hu J.Y., Wu L.L., Su G.S., Zhong N.S., Zheng Z.G. Pulmonary rehabilitation guidelines in the principle of 4S for patients infected with 2019 novel coronavirus (2019-nCoV) // Zhonghua Jie He He Hu Xi Za Zhi. 2020. С. 180-182.

7. Kathleen F., Terence P. LL(\*): the foundation of the ANTLR parser generator. // Proceedings of the ACM SIGPLAN Conference on Programming Language Design and Implementation (PLDI). 2011. С. 425-436.

8. Fluri B., Wuersch M., Pinzger M., Gall H. Change Distilling: Tree Differencing for Fine-Grained Source Code Change Extraction // IEEE Transactions on Software Engineering. 2007. №11. С. 725–743.

9. Levandowsky M., Winter D. Distance between sets // Nature. 1971. №234. С. 34-35.

10. Introduction to Algorithms / Cormen, Leiserson, Rivest, Stein, 3 изд. The MIT Press, 2009. 1292 с.

11. Лозовский В. В. Алгоритмические основы обработки данных. М.: РТУ МИРЭА, 2022. 337 с.

### References

1. Fekete M, Fazekas-Pongor V, Balazs P, Tarantini S, Nemeth AN, Varga JT. Wien Klin Wochenschr. 2021. №133. pp. 1201-1207.

2. Leonova A.V., Sinyutin S.A., Shpakovskaya O.Y. Inzhenernyj vestnik Dona, 2022, №4. URL: [ivdon.ru/ru/magazine/archive/n4y2022/7575/](http://ivdon.ru/ru/magazine/archive/n4y2022/7575/).





3. Stbeakov I.N., Shutin D.V., Marakhin N.A. Inzhenernyj vestnik Dona, 2020, №6. URL: [ivdon.ru/ru/magazine/archive/N6y2020/6514/](http://ivdon.ru/ru/magazine/archive/N6y2020/6514/).
4. Zubkov A.V., Sibirnyy N.D., Samokhodkina I.A., Orlova Yu.A. Programmaya inzheneriya: sovremennye tendentsii razvitiya i primeneniya (PI-2021). 2021. pp. 119-121.
5. Murad D. F., Heryadi Y., Wijanarko B. D., Isa S. M., Budiharto W. International Conference on Computing, Engineering, and Design (ICCED). 2018. pp. 113-118.
6. Yang F., Liu N., Hu J.Y., Wu L.L., Su G.S., Zhong N.S., Zheng Z.G. Zhonghua Jie He He Hu Xi Za Zhi. 2020. pp. 180-182.
7. Kathleen F., Terence P., Proceedings of the ACM SIGPLAN Conference on Programming Language Design and Implementation (PLDI). 2011. pp. 425-436.
8. Fluri B., Wuersch M., Pinzger M., Gall H., IEEE Transactions on Software Engineering. 2007. №11. pp. 725–743.
9. Levandowsky M., Winter D. Nature. 1971. №234. pp. 34-35.
10. Introduction to Algorithms. Cormen, Leiserson, Rivest, Stein , 3 rd. The MIT Press, 2009. P. 1292.
11. Lozovskiy V. V. Algoritmicheskie osnovy obrabotki dannykh [Algorithmic foundations of data processing]. RTU MIREA, 2022. P. 337.